

УЧЕТ НАСЫЩЕНИЯ ПРИ РАСЧЕТЕ ПРЕРЫВИСТОГО ВОЗБУЖДЕНИЯ УДАРНОГО ГЕНЕРАТОРА

Г. А. СИПАЙЛОВ, А. И. ВЕРХОТУРОВ

(Представлена научным семинаром кафедр электрических машин и общей
электротехники)

В цепях со сталью индуктивность сохраняет постоянное значение только в пределах прямолинейного участка кривой намагничивания. Поэтому приведенные в [1] соотношения для расчета допустимых коэффициентов форсировки при прерывистом возбуждении, справедливые при постоянной индуктивности, не могут быть применены при расчете переходных процессов с насыщенным магнитопроводом, а так как ударные генераторы могут работать в режимах с сильным насыщением, то допущение о постоянстве индуктивности может привести к значительным погрешностям при расчете.

В данной статье ставится задача учесть насыщение магнитной цепи при расчете допустимого коэффициента форсировки и оценить погрешность, которая получается при расчете с постоянной индуктивностью.

Для расчета переходных процессов в цепях возбуждения с учетом насыщения наиболее широко применяется метод кусочно-линейной аппроксимации [2].

Замена характеристики нелинейного сопротивления отрезками прямых линий дает возможность перейти от нелинейного дифференциального уравнения к нескольким линейным дифференциальным уравнениям, отличающимся лишь значениями коэффициентов.

Практически кривую намагничивания заменяют двумя прямыми aa и ab (рис. 1). В таком случае имеются постоянные индуктивности на каждом участке.

Пренебрегая потоком рассеяния между обмотками успокоительной и возбуждения, для включения обмотки возбуждения на постоянное напряжение ku_2 получим следующую систему дифференциальных уравнений для насыщенной части характеристики холостого хода:

$$\left. \begin{aligned} r_2 i_2 + L_{2\alpha} \frac{di_2}{dt} + \sqrt{L_{2\alpha} \cdot L_{3\alpha}} \frac{di_3}{dt} &= ku_2 \\ r_3 i_3 + L_{3\alpha} \frac{di_3}{dt} + \sqrt{L_{2\alpha} \cdot L_{3\alpha}} \frac{di_2}{dt} &= 0 \end{aligned} \right\}, \quad (1)$$

где

r_2, r_3 — активные сопротивления обмотки возбуждения и демпферной,

$L_{2\alpha}, L_{3\alpha}$ — индуктивности тех же обмоток в ненасыщенной области,

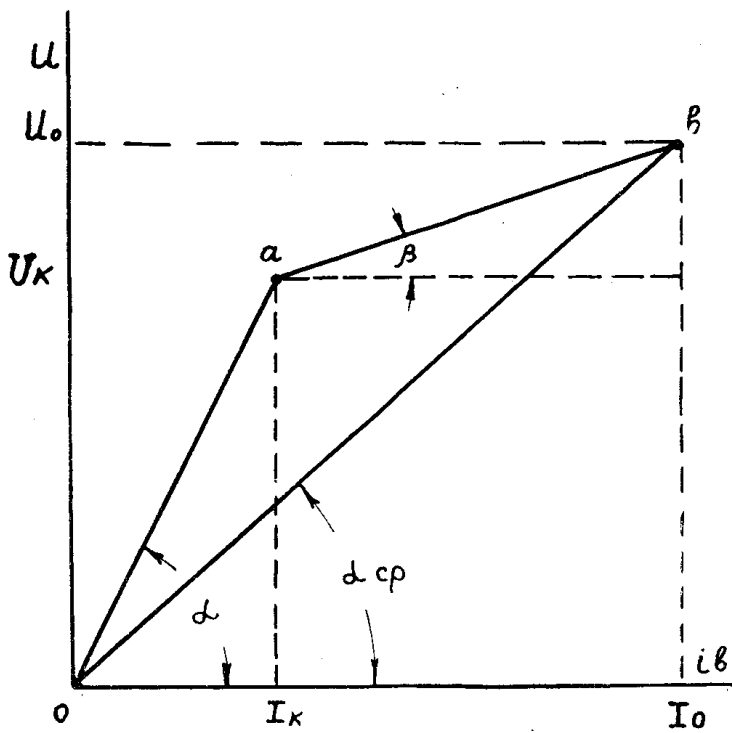


Рис. 1. К учету насыщения методом кусочно-линейной аппроксимации

k — кратность напряжения, подводимого к обмотке возбуждения по сравнению с номинальным.

Решение системы (1):

$$i_2 = -\frac{U_2}{r_2} \left[[k + (n - k) B e^{-\frac{t}{T_\alpha}}] \right], \quad (2)$$

$$i_3 = -\frac{U_2}{r_2} (1 - B)(n - k) e^{-\frac{t}{T_\alpha}}, \quad (3)$$

где $T_{2\alpha} = \frac{L_{2\alpha}}{r_2}$ $T_{3\alpha} = \frac{L_{3\alpha}}{r_3}$ — постоянные времени обмотки возбуждения и демпферной в ненасыщенной области,

$T_\alpha = T_{2\alpha} + T_{3\alpha}$ — суммарная постоянная времени ротора в ненасыщенной области,

$B = \frac{T_{2\alpha}}{T_\alpha}$ — отношение постоянной времени обмотки возбуждения к суммарной постоянной времени в ненасыщенной области.

n — коэффициент, показывающий, с какого значения напряжения на зажимах генератора начинается форсировка.

Значение n изменяется в пределах $0 \leq n \leq m$, где $m = \frac{I_K}{I_0}$.

Поток, который электромагнитным путем передается из ротора в статор, пропорционален суммарному току обмоток ротора и коэффициенту взаимоиндукции между ротором и статором M :

где

$$\Phi_\alpha = \Phi_{0\alpha} \left[k - (k-n)e^{-\frac{t_1}{T_\alpha}} \right], \quad (4)$$

$$\Phi_{0\alpha} = \frac{u_2}{r_2} \frac{M_\alpha}{w_1},$$

w_1 — число витков обмотки статора.

Время нарастания потока до точки «а» определяется из условия равенства суммарного тока обмоток величине $I_k = m \frac{u_2}{r_2}$.

$$t_1 = T_\alpha \ln \frac{k - n}{k - m}. \quad (5)$$

Потери энергии в стали машины за промежуток времени от 0 до t_1 :

$$Q_{C\alpha} = \frac{P_0'}{\Phi_H^2} \int_0^{t_1} \Phi_\alpha^2 \cdot dt, \quad (6)$$

где

$$\Phi_H = \frac{u_2}{r_2 w_1} [M_\beta + m(M_\alpha - M_\beta)] = \frac{u_2 M_\alpha}{r_2 w_1} [c + m(1 - c)]. \quad (7)$$

$c = \frac{M_\beta}{M_\alpha} = \frac{\tan \beta}{\tan \alpha}$ — отношение взаимоиндуктивностей на насыщенных и ненасыщенных участках,

P_0' — потери холостого хода в стали машины.
После подстановки в (6) значения потока Φ_α из (4) и интегрирования получим

$$Q_{C\alpha} = \frac{P_0' T_\alpha}{[c + m(1 - c)]^2} \left[k^2 \ln \frac{k - n}{k - m} - (m - n)(k + 0,5m + 0,5n) \right]. \quad (8)$$

Для энергии потерь в меди обмотки возбуждения и демпферной

$$Q_{B\alpha} = \int_0^{t_1} i_{B\alpha}^2 \cdot r_2 \cdot dt = \frac{u_{B\alpha}^2}{r_2} T_\alpha \left\{ k^2 \ln \frac{k - n}{k - m} - (m - n)B[k(2 - B) + 0,5B(m + n)] \right\}, \quad (9)$$

$$Q_{D\alpha} = \int_0^{t_1} i_{D\alpha}^2 \cdot r_3 \cdot dt = \frac{u_{D\alpha}^2}{r_2} (1 - B) B T_\alpha (m - n)(k - 0,5m - 0,5n). \quad (10)$$

После перехода магнитной системы в насыщенное состояние система дифференциальных уравнений имеет прежний вид (1), только замен ненасыщенных величин с индексом α войдут насыщенные величины с индексом β . Решение этой системы с учетом новых начальных условий при $t_2 = 0$

$$i_2 + i_8 = m \frac{u_2}{r_2} \quad (11)$$

имеет вид:

$$i_2 = \frac{ku_2}{r_2} \left(1 - B \frac{k-m}{k} e^{-\frac{t_2}{T_\beta}} \right), \quad (12)$$

$$i_3 = - \frac{u_2(k-m)}{V L_{2\beta} \cdot L_{3\beta} (\delta_{2\beta} + \delta_{3\beta})} e^{-\frac{t_2}{T_\beta}}, \quad (13)$$

$$\left. \begin{array}{l} \delta_{2\beta} = \frac{r_2}{L_{2\beta}} \\ \delta_{3\beta} = \frac{r_3}{L_{3\beta}} \end{array} \right\} \begin{array}{l} \text{— коэффициенты затухания токов в обмотке воз-} \\ \text{буждения и демпферной в насыщенной области,} \\ L_{2\beta}, L_{3\beta} \quad \begin{array}{l} \text{— индуктивности обмотки возбуждения и демпфер-} \\ \text{ной в насыщенной области,} \end{array} \\ T_\beta = T_{2\beta} + T_{3\beta} \quad \begin{array}{l} \text{— суммарная постоянная времени ротора в насы-} \\ \text{щенной области,} \end{array} \\ B = \frac{T_{2\beta}}{T_\beta} = \frac{T_{2\alpha}}{T_\alpha} \quad \begin{array}{l} \text{— отношение постоянной времени обмотки возбуж-} \\ \text{дения к суммарной постоянной в насыщенной и} \\ \text{ненасыщенной областях.} \end{array} \end{array}$$

Суммарный ток обмоток возбуждения и демпферной

$$i_2 + i_3 = \frac{ku_2}{r_2} \left(1 - \frac{k-m}{k} e^{-\frac{t_2}{T_\beta}} \right). \quad (14)$$

Время нарастания суммарного тока от $m \frac{u_2}{r_2}$ до установившегося значения можно определить из условия равенства суммарного тока величине $\frac{u_2}{r_2}$.

$$t_2 = T_\beta \ln \frac{k-m}{k-1}. \quad (15)$$

Время нарастания суммарного тока от значения, соответствующего точке а (рис. 1), до $0,95 \frac{u_2}{r_2}$

$$t_2' = T_\beta \ln \frac{k-m}{k-0,95}. \quad (16)$$

Поток на участке ab равен потоку в точке перегиба $m \frac{u_2}{r_2} \frac{M_\alpha}{W_1}$,

плюс добавка от разности токов $\left(i_2 - \frac{u_2}{r_2} m \right) \frac{M_\beta}{W_1}$ (рис. 1), тогда

$$\begin{aligned} \Phi_\beta &= \frac{mu_2 M_\alpha}{r_2 W_1} + \frac{ku_2}{r_2 W_1} M_\beta \left(1 - \frac{k-m}{k} e^{-\frac{t_2}{T_\beta}} \right) - \\ &- \frac{mu_2 M_\beta}{r_2 W_1} = \frac{M_\alpha u_2}{r_2 W_1} \left\{ (1-c)m + c \left[k - (k-m)e^{-\frac{t_2}{T_\beta}} \right] \right\}. \end{aligned} \quad (17)$$

Зависимость энергии потерь в стали машины от коэффициента форсировки на участке ab:

$$Q_{C\beta} = \frac{P_0'}{\Phi_H^2} \int_0^{t_2} \Phi_\beta^2 \cdot dt = \frac{P_0' T_\beta}{[c+m(1-c)]^2} \left\{ [(1-c)m + ck]^2 \times \right. \\ \left. \times \ln \frac{k-m}{k-1} + (m-1)c(2m - 1,5mc + ck + 0,5c) \right\}. \quad (18)$$

Энергия, выделяющаяся в виде потерь в обмотке возбуждения на участке ab, равна:

$$Q_{B\beta} = \int_0^{t_2} i_{2\beta}^2 \cdot r_2 \cdot dt = \frac{u_{2\beta}^2}{r_2} T_\beta \left[k^2 \ln \frac{k-m}{k-1} + (m-1)B(2k + \right. \\ \left. + 0,5Bm + 0,5B - Bk) \right]. \quad (19)$$

В демпферной обмотке:

$$Q_{D\beta} = \int_0^{t_2} i_{3\beta}^2 \cdot r_3 \cdot dt = \frac{u_{3\beta}^2}{r_3} T_\beta (m-1)B(k+0,5m+0,5). \quad (20)$$

Сложив правые части уравнений (19) и (20), получим энергию потерь, выделяющихся в обмотке возбуждения и демпферной за время t_2 .

$$Q_{B+D\beta} = \frac{u_{2\beta}^2}{r_2} T_\beta \left[k^2 \ln \frac{k-m}{k-1} + (m-1)B(k+0,5m+0,5) \right]. \quad (21)$$

Зная зависимость энергии потерь в меди обмотки возбуждения от коэффициента форсировки на 2-х участках, можно найти допустимый коэффициент форсировки из условия равенства энергии потерь, выделяющихся в обмотке возбуждения при прерывистом форсированном возбуждении и постоянном возбуждении за одно и то же время. Однако более правильным будет определение допустимого коэффициента форсировки для всего цикла работы с учетом второго этапа прерывистого возбуждения — форсированного гашения.

Ударные генераторы обладают мощной успокоительной обмоткой, демпфирующие контуры которой замкнуты накоротко. Поэтому даже после полного отключения тока в обмотке возбуждения остается значительный по величине и медленно затухающий магнитный поток. Единственной возможностью осуществить гашение поля является воздействие на магнитное поле демпфирующих контуров каким-нибудь другим магнитным полем противоположного направления [2, 3].

Рассмотрим качественную сторону процесса гашения. Пренебрегая потоком рассеяния между обмотками успокоительной и возбуждения, получим следующую систему дифференциальных уравнений для насыщенной части характеристики холостого хода:

$$r_2 \cdot i_2 + L_{2\beta} \frac{di_2}{dt} + V \overline{L_{2\beta} \cdot L_{3\beta}} \frac{di_3}{dt} = -ku_2, \\ r_3 \cdot i_3 + L_{3\beta} \frac{di_3}{dt} + V \overline{L_{3\beta} \cdot L_{2\beta}} \frac{di_2}{dt} = 0. \quad (22)$$

Решение этой системы уравнений имеет вид:

$$i_2 = -\frac{u_2}{r_2} \left[(1+k) B e^{-\frac{t_3}{T_\beta}} - k \right], \quad (23)$$

$$i_3 = -\frac{u_2}{r_2} (1+k)(1-B) e^{-\frac{t_3}{T_\beta}}. \quad (24)$$

Время гашения поля на первом участке можно определить из условия равенства суммарного тока в течке перегиба величине $m \frac{u_2}{r_2}$:

$$t_3 = T_\beta \ln \frac{k+1}{k+m}. \quad (25)$$

На участке ab поток изменяется по соотношению:

$$\Phi_\beta = \frac{u_2 M_a}{r_2 w_1} \left\{ m(1-c) + c \left[(1+k)e^{-\frac{t_3}{T_\beta}} - k \right] \right\} \quad (26)$$

Энергия, выделяющаяся в стали машины за время t_3 , равна:

$$Q_{c\beta r} = \frac{P_0' T_\beta}{[c+m(1-c)]^2} \left\{ \ln \frac{k+1}{k+m} [m(1-c) - ck]^2 + (1-m)c(2m - 1.5mc - kc + 0.5c) \right\}. \quad (27)$$

В обмотке возбуждения

$$Q_{b\beta r} = \int_0^{t_3} i_2^2 \cdot r_2 \cdot dt = \frac{u_2^2 T_\beta}{r_2} \left\{ k^2 \ln \frac{k+1}{k+m} + (m-1)B[2k - B(k+0.5m+0.5)] \right\}. \quad (28)$$

В демпферной обмотке

$$Q_{d\beta r} = \int_0^{t_3} i_3^2 \cdot r_3 \cdot dt = -\frac{u_2^2}{r_2} (1-B)T_\beta(m-1) \times (k+0.5m+0.5). \quad (29)$$

Сложив правые части уравнений (28) и (29), получим энергию потерь, выделяющуюся в демпферной обмотке и обмотке возбуждения:

$$Q_{b\beta r} + Q_{d\beta r} = \frac{u_2^2}{r_2} T_\beta \left[k^2 \ln \frac{k+1}{k+m} + B(m-1)(k-0.5m-0.5) \right]. \quad (30)$$

После перехода магнитной системы в ненасыщенное состояние система дифференциальных уравнений будет иметь прежний вид (22), но вместо величин с индексом β в них войдут величины с индексом a .

С учетом новых начальных условий:

$$i_2(0) + i_3(0) = m \frac{u_2}{r_2} \quad (31)$$

выражения для токов равны

$$i_2 = \frac{u_2}{r_2} \left[(k+m)Be^{-\frac{t_4}{T_a}} - k \right], \quad (32)$$

$$i_3 = \frac{u_2}{r_2} (k+m)(1-B)e^{-\frac{t_4}{T_a}} \quad (33)$$

Время гашения определяется из условия

$$i_2 + i_3 = n \frac{u_2}{r_2}, \quad (34)$$

откуда

$$t_4 = T_a \ln \frac{k+m}{k+n}. \quad (35)$$

Поток на участке oa:

$$\Phi_a = \frac{u_2 M_a}{r_2 u_1} \left[(k+m)e^{-\frac{t_4}{T_a}} - k \right]. \quad (36)$$

Зависимость потерь в стали от k для участка oa:

$$Q_{c\alpha r} = \frac{P'_o T_a}{[c + m(1-c)]^2} [k^2 \ln \frac{k+m}{k+n} + (m-n)(0.5m + 0.5n - k)], \quad (37)$$

Энергия потерь, выделяющаяся в обмотке возбуждения на участке oa, равна

$$Q_{B\alpha r} = \int_0^{t_4} i_2^2 \cdot r_2 \cdot dt = \frac{u_2^2 T_a}{r_2} \left[k^2 \ln \frac{k+m}{k+n} + (m-n)B(0.5mB + 0.5nB + Bk - 2k) \right]. \quad (38)$$

В демпферной обмотке

$$Q_{d\alpha r} = \int_0^{t_4} i_3^2 \cdot r_3 \cdot dt = \frac{u_2^2}{r_2} T_a (1-B)B(m-n)(0.5m + 0.5n + k). \quad (39)$$

Суммарные потери в обмотках ротора для участка oa:

$$Q_{B\alpha r} + Q_{d\alpha r} = \frac{u_2^2 T_a}{r_2} \left[k^2 \ln \frac{k+m}{k+n} + B(m-n)(0.5m + 0.5n - k) \right]. \quad (40)$$

Зная распределение потерь в меди и стали машины от коэффициента форсировки при форсированном возбуждении и развозбуждении, можно найти суммарные потери за цикл работы.

Для стали:

$$Q_{c\alpha} = \frac{P'_o T_a}{[c + m(1-c)]^2} \left\{ k^2 \ln \frac{(k-n)(k+m)}{(k-m)(k+n)} + c[(1-c)m + ck]^2 \ln \frac{k-m}{k-1} + c[m(1-c) - ck]^2 \ln \frac{k+1}{k+m} + 2k[c^3(m-1)-m+n] \right\} \quad (41)$$

Для меди обмотки возбуждения:

$$Q_{M\text{ в ц}} = \frac{u_2^2 T_a}{r_2} \left\{ k^2 \ln \frac{(k+1)^c (k-m)^{c-1} (k-n)}{(k-1)^c (k+m)^{c-1} (k+n)} + \right. \\ \left. + 2Bk(B-2)[(m-n)-c(m-1)] \right\}. \quad (42)$$

Энергия потерь, выделяющаяся за цикл работы в обмотке возбуждения и демпферной, равна

$$Q_{M\text{ ц}} = \frac{u_2^2 T_a}{r_2} \left\{ k^2 l n \frac{(k+1)^c (k-m)^{c-1} (k-n)}{(k-1)^c (k+m)^{c-1} (k+n)} + \right. \\ \left. + 2Bk[c(m-1)-m+n] \right\}. \quad (43)$$

Время нарастания и спадания магнитного поля, определяющее длительность цикла работы ударного генератора при прерывистом возбуждении, можно получить, сложив выражения (5), (15), (25) и (35):

$$t_{\text{ц}} = T_a l n \frac{(k+1)^c (k-m)^{c-1} (k-n)}{(k-1)^c (k+m)^{c-1} (k+n)}. \quad (44)$$

Представляет интерес рассмотреть зависимость отдельных составляющих потерь энергии при прерывистом возбуждении и при постоянном возбуждении за одно и то же время для различных коэффициентов форсировки.

Обозначим $k_{4H} = \frac{Q_{\text{сц}}}{P_o' t_{\text{ц}}}$, где $P_o' t_{\text{ц}}$ — потери энергии в стали машины за время, равное циклу работы при постоянном возбуждении

$$k_{4H} = \frac{k^2 l n \frac{(k-n)(k+m)}{(k-m)(k+n)} + N l n \frac{k-m}{k-1} + F l n \frac{k+1}{k+m} +}{[c+m(1-c)]^2 l n \frac{(k+1)^c (k-m)^{c-1} (k-n)}{(k-1)^c (k+m)^{c-1} (k+n)}} \\ + \frac{2k[c^3(m-1)-m+n]}{\longrightarrow}, \quad (45)$$

где

$$N = c[(1-c)m + ck]^2$$

$$F = c[m(1-c) - ck]^2.$$

Результаты расчета по (45) представлены на рис. 2 для следующих параметров, учитывающих насыщение машины [4]:

$$m=0,5; c=0,317; \text{ для } n=0 \text{ и } n=0,5.$$

При прерывистом возбуждении для $n=0$ с увеличением коэффициента форсировки до двух потери в стали сокращаются почти в 3 раза по сравнению с постоянным возбуждением за то же самое время. При дальнейшем увеличении коэффициента форсировки потери энергии в стали остаются почти постоянными, равными потерям при $k=2$.

При $n=0,5$ и $k=2$ энергия потерь в стали машины в расчете на один импульс тока статора уменьшается примерно в 1,3 раза по сравнению с постоянным возбуждением, однако, длительность цикла для одного и того же коэффициента форсировки при $n=0,5$ уменьшается почти в 2 раза по сравнению с длительностью цикла при $n=0$.

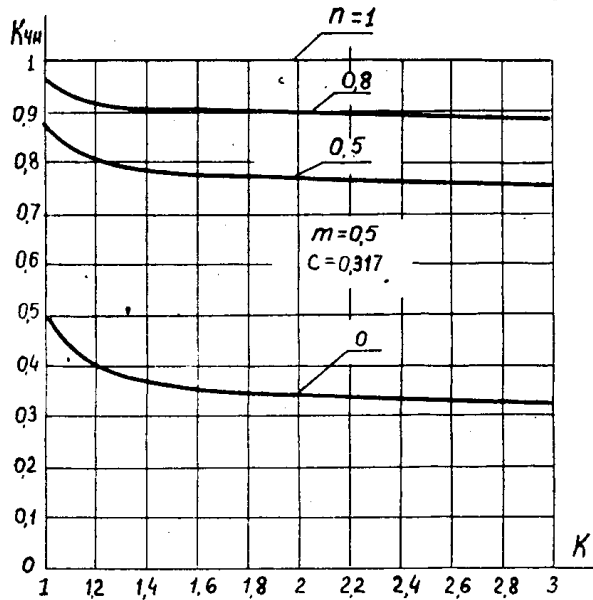


Рис. 2. Зависимость отношения энергии потерь в стали при прерывистом и постоянном возбуждении от коэффициента форсировки.

По аналогии обозначим $k_{5H} = \frac{Q_{M\mu}}{\frac{U_2^2 t_{\mu}}{r_2}}$,

где $\frac{U_2^2 t_{\mu}}{r_2}$ — потери энергии в обмотке возбуждения и демпферной при постоянном возбуждении за цикл работы

$$k_{5H} = k^2 + \frac{2Bk[c(m-1) - m + n]}{\ln \frac{(k+1)^c(k-m)^{c-1}(k-n)}{(k-1)^c(k+m)^{c-1}(k+n)}}. \quad (46)$$

Результаты расчета по уравнению (46) представлены на рис. 3, а и б для $n=0$ и $n=0.5$. Величина В зависит от отношения $\frac{T_3}{T_2}$, при расчете это отношение изменялось в пределах $0.2 \div 1$.

Из рис. 3, а и б следует, что при $n=0$, $\frac{T_3}{T_2}=0.8$ равенство энергии потерь в роторе при постоянном и прерывистом возбуждении достигается при $k=1.38$, а для $n=0.5$ при $k=1.2$.

Однако при $k=1.2$ и $n=0.5$ длительность цикла будет в 2,3 раза меньше, чем при $n=0$ и $K=1.38$ при этом потери в стали для $n=0$ и $K=1.38$ в 2,7 раза меньше по сравнению с постоянным возбуждением, а при $n=0.5$ и $K=1.2$ — в 1,23 раза меньше по сравнению с постоянным возбуждением за одно и то же время.

Отношение энергии потерь в обмотке возбуждения при прерывистом возбуждении к энергии потерь в обмотке возбуждения при постоянном возбуждении за цикл работы обозначим через k_{6H} , тогда

$$k_{6H} = k^2 + \frac{2Bk(B-2)[(m-n) - c(m-1)]}{\ln \frac{(k+1)^c(k-m)^{c-1}(k-n)}{(k-1)^c(k+m)^{c-1}(k+n)}}. \quad (47)$$

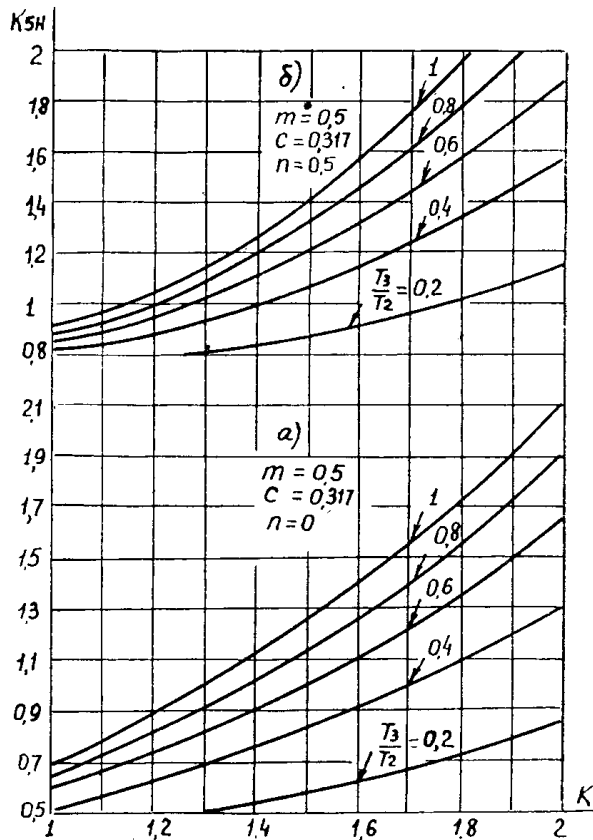


Рис. 3. Зависимость K_{5H} от коэффициента форсировки

Результаты расчетов по уравнению (47) представлены на рис. 4, а и б для $n=0$ и $n=0.5$.

Из анализа приведенных зависимостей видно, что с увеличением кратности форсировки потери энергии в стали в расчете на один импульс сокращаются по сравнению с потерями при постоянном возбуждении за одно и то же время. С другой стороны, возрастают потери в обмотках ротора. Если принять, что потери в обмотке возбуждения при прерывистом возбуждении равны потерям, выделяющимся в обмотке за то же самое время при непрерывном возбуждении, то допустимый коэффициент форсировки может быть определен из выражения:

$$\frac{\frac{u_2^2 T_a}{r_2} \left\{ k^2 \ln \frac{(k+1)^c (k-m)^{c-1} (k-n)}{(k-1)^c (k+m)^{c-1} (k+n)} + 2Bk(B-2)[(m-n)-c(m-1)] \right\}}{\frac{u_2^2}{r_2} T_a \ln \frac{(k+1)^c (k-m)^{c-1} (k-n)}{(k-1)^c (k+m)^{c-1} (k+n)}} = 1 \quad (48)$$

После упрощений

$$(k^2 - 1) \ln \frac{(k+1)^c (k-m)^{c-1} (k-n)}{(k-1)^c (k+m)^{c-1} (k+n)} + 2Bk(B-2)[(m-n) - c(m-1)] = 0. \quad (49)$$

Для известных параметров машины это трансцендентное уравнение можно решить приближенно относительно K . Результаты расчетов по уравнению (49) представлены на рис. 5 для $n=0$ и $n=0.5$.

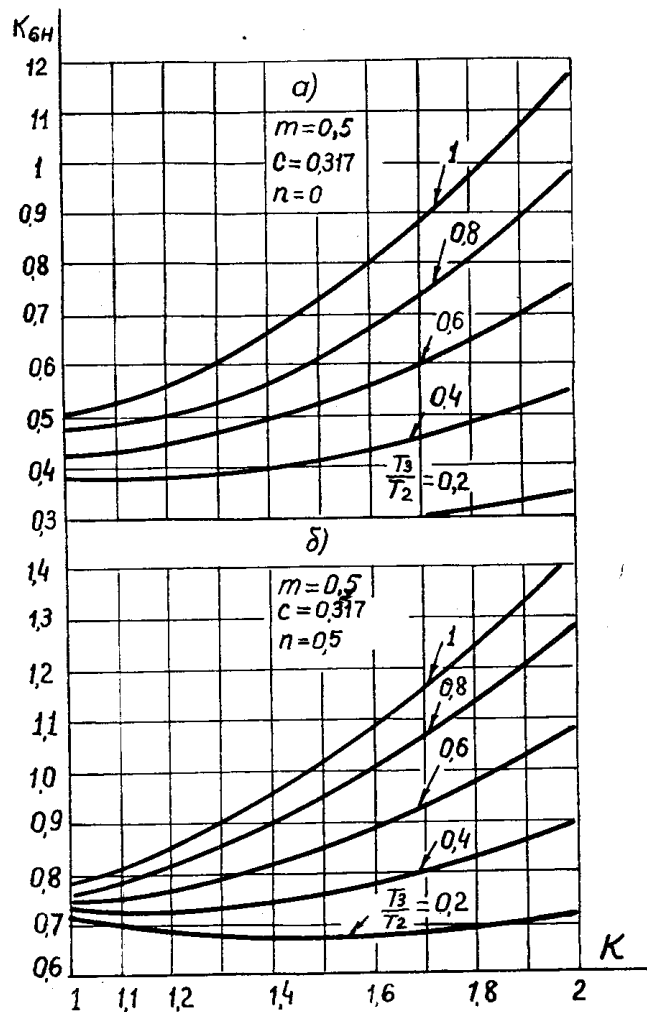


Рис. 4. Зависимость отношения энергии потерь в обмотке возбуждения при прерывистом и постоянном возбуждении от К

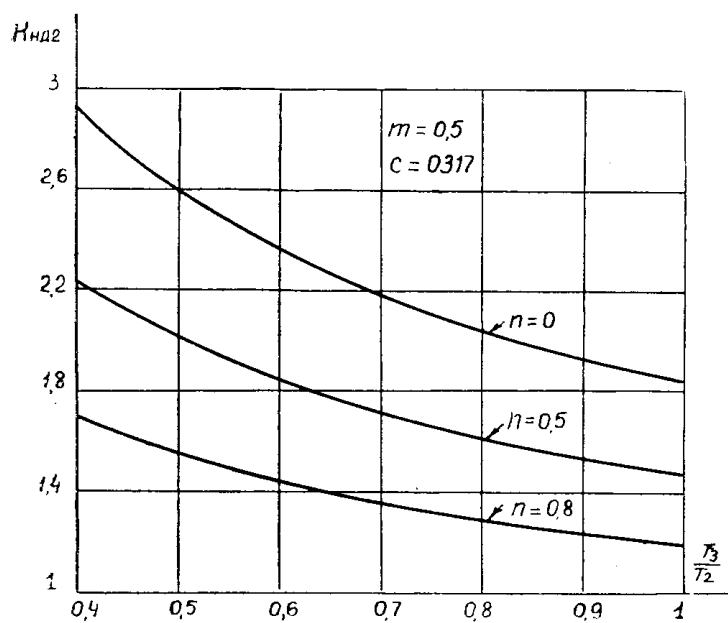


Рис. 5. К расчету допустимого коэффициента форсировки с учетом насыщения

Из рис. 5 видно, что для отношения $\frac{T_3}{T_2} = 0,8$ допустимый коэффициент форсировки равен двум. Для данного коэффициента форсировки при $n=0$, значения других коэффициентов равны:

$$k_{4H} = 0,34; k_{5H} = 1,9; k_{6H} = 1,$$

то есть потери энергии в стали при прерывистом форсированном возбуждении сократятся примерно в 3 раза, потери энергии в обмотке возбуждения останутся неизменными по сравнению с потерями при постоянном возбуждении за одно и то же время, однако, при этом суммарные потери энергии в меди ротора увеличиваются в 1,9 раза за счет потерь энергии в демпферной обмотке. Так как демпферная обмотка не имеет изоляции, то выделившиеся в ней потери передадут в тело ротора. Возникает вопрос: сильнее ли нагреется ротор при прерывистом возбуждении по сравнению с постоянным возбуждением за одно и то же время? Чтобы ответить на этот вопрос, надо знать соотношение между потерями в стали ротора и потерями в обмотке возбуждения при холостом ходе. Например, для генератора ТИ-100-2 это соотношение следующее: потери в стали ротора составляют 281 квт, потери в меди обмотки возбуждения — 120 квт. Потери энергии в стали ротора при постоянном возбуждении за время, соответствующее длительности цикла работы при $K=2$, равны $281 t_{\text{ц}} \text{ кдж}$.

Потери энергии в стали ротора за цикл работы для $K=2$ при прерывистом возбуждении — $0,34 \cdot 281 t_{\text{ц}} \approx 95 t_{\text{ц}} \text{ кдж}$. Потери энергии в обмотке возбуждения за цикл работы при $K=2$ равны $120 t_{\text{ц}} \text{ кдж}$. Потери энергии в демпферной обмотке за цикл работы при прерывистом возбуждении — $0,9 \cdot 120 t_{\text{ц}} = 108 t_{\text{ц}} \text{ кдж}$.

Отношение энергии потерь в стали и меди ротора при прерывистом возбуждении к энергии потерь при постоянном возбуждении за цикл работы равно:

$$\frac{95t_{\text{ц}} + 108t_{\text{ц}} + 120t_{\text{ц}}}{281t_{\text{ц}} + 120t_{\text{ц}}} = 0,8. \quad (49 \text{ а})$$

Таким образом, при прерывистом возбуждении потери энергии в роторе будут на 20 проц. меньше, чем при постоянном возбуждении за то же самое время.

При $n > m$ работа машины происходит на втором участке характеристики холостого хода. В этом случае суммарные потери, выделяющиеся в стали машины за цикл, равны:

$$Q_{\text{сн}} = \frac{P'_0 T_3}{[c + m(1 - c)]^2} \left\{ [m(1 - c) + ck]^2 \ln \frac{k - n}{k - 1} + [m(1 - c) - ck]^2 \ln \frac{k + 1}{k + n} + 2kc^2(n - 1) \right\}. \quad (50)$$

Потери энергии за цикл работы в обмотке возбуждения:

$$Q_{\text{мвц}} = \frac{u_2^2 \cdot T_3}{r_2} \left[k^2 \ln \frac{(k + 1)(k - 1)}{(k + n)(k - 1)} + 2Bk(n - 1)(2 - B) \right]. \quad (51)$$

Суммарные потери в обмотке возбуждения и демпферной за цикл работы

$$Q_{\text{мц}} = \frac{u_2^2}{r_2} T_3 [k^2 \ln \frac{(k + 1)(k - n)}{(k - 1)(k + n)} + 2Bk(n - 1)] \quad (52)$$

Длительность цикла работы ударного генератора

$$t_{\text{ц}} = T_3 \ln \frac{(k + 1)(k - n)}{(k + n)(k - 1)} \quad (53)$$

Зависимость отдельных составляющих потерь энергии при прерывистом и постоянном возбуждении за одно и то же время для различных коэффициентов форсировки можно представить аналогично уравнениям (45÷49).

Для стали

$$k_{\text{чн}} = \frac{[m(1 - c) + ck]^2 \ln \frac{k - n}{k - 1} + [m(1 - c) - ck]^2 \ln \frac{k + 1}{k + n} + [c + m(1 - c)]^2 \ln \frac{(k + 1)(k - n)}{(k + n)(k - 1)} + 2c^2(n - 1)k}{\dots} \quad (54)$$

Для энергии потерь в обмотке возбуждения и демпферной

$$k_{5n} = k^2 + \frac{2Bk(n - 1)}{\ln \frac{(k + 1)(k - n)}{(k - 1)(k + n)}}. \quad (55)$$

Для энергии потерь в обмотке возбуждения

$$k_{6n} = k^2 + \frac{2Bk(n - 1)(2 - B)}{\ln \frac{(k + 1)(k - n)}{(k - 1)(k + n)}}. \quad (56)$$

Допустимый коэффициент форсировки можно определить из условия равенства энергий потерь в меди обмотки возбуждения при постоянном и прерывистом возбуждении за одно и то же время:

$$(k^2 - 1) \ln \frac{(k + 1)(k - n)}{(k - 1)(k + n)} + 2Bk(n - 1)(2 - B) = 0. \quad (57)$$

Результаты расчета по (57) представлены на рис. 5 для $n=0,8$.

Необходимо оценить погрешность, которая получается при расчете длительности цикла без учета насыщения (L_α) и при учете насыщения выбором насыщенных значений параметров для заданного режима ($L_{\alpha cp}$) с длительностью цикла, рассчитанной с учетом насыщения путем замены характеристики холостого хода машины двумя прямыми линиями.

Длительность цикла без учета насыщения

$$t_{\text{ц1}} = T_\alpha \ln \frac{(k + 1)(k - n)}{(k - 1)(k + n)} \quad (58)$$

Длительность цикла при учете насыщения выбором насыщенных значений параметров для заданного режима:

$$t_{\text{ц2}} = T_{\alpha cp} \ln \frac{(k + 1)(k - n)}{(k - 1)(k + n)}. \quad (59)$$

Длительность цикла $t_{\text{ц}}$ при аппроксимации характеристики холостого хода двумя прямыми линиями при $0 < n < m$ определяется по (44). При $K=2$; $n=0$; $m=0,5$; $c=0,317$:

$$\frac{t_{\text{ц1}}}{t_{\text{ц}}} = 1,8; \quad \frac{t_{\text{ц2}}}{t_{\text{ц}}} = 1,14. \quad (59 \text{ a})$$

Погрешность расчета длительности цикла дополнительно возрастает, если форсировка начинается не с нулевого напряжения, а с некоторого заданного, например, при $n \geq m$.

В этом случае при расчете длительности цикла методом аппроксимации характеристики холостого хода двумя прямыми постоянная времени определяется углом наклона β характеристики холостого хода (рис. 1).

$$t_{u3} = T_\beta \ln \frac{(k+1)(k-n)}{(k-1)(k+n)}. \quad (60)$$

Тогда для рассматриваемого случая вместо $\frac{t_{u2}}{t_u} = 1,14$ получим

$$\frac{t_{u2}}{t_{u3}} = 2. \quad (61)$$

В расчетах были приняты значения углов, соответствующих характеристикам холостого хода существующих генераторов разрывной мощности [4]:

$$\beta = 54^\circ; \alpha_{cp} = 70^\circ; \alpha = 77^\circ.$$

Таким образом, при исследовании прерывистого возбуждения ударного генератора необходимо учитывать насыщение магнитной цепи, при этом в случае расчета длительности цикла прерывистого возбуждения необходимо учитывать насыщение путем аппроксимации характеристики холостого хода по меньшей мере двумя отрезками прямых линий, а при расчете допустимого коэффициента форсировки достаточно учитывать насыщение магнитной цепи выбором насыщенных значений параметров для заданного режима.

Применение прерывистого возбуждения при допустимых коэффициентах форсировки позволяет значительно сократить потери холостого хода в расчете на один импульс тока статора по сравнению с тем случаем, когда возбуждение осуществляется непрерывно. Эффективность применения форсированного прерывистого возбуждения тем больше, чем меньше отношение постоянной времени демпферной обмотки к постоянной времени обмотки возбуждения.

ЛИТЕРАТУРА

1. Г. А. Спайлов, А. И. Верхотуров. Влияние форсировки возбуждения на величину потерь энергии ударного генератора. См. статью в этом же сборнике.
2. О. Б. Брон. Автоматы гашения магнитного поля, Госэнергоиздат, 1961.
3. Н. Н. Никифорский. К вопросу о форсированном развозбуждении синхронных машин, «Электричество», 1963, № 9.
4. L. A. Kilgore, E. J. Hill, C. Flick. A new three-million Kva short circuit generator I.E.E.E. Transactions on Power Apparatus and Systems, vol. 67, 1963.